

ذبذبة شرق الاطلس / غرب روسيا وأثرها في اختلاف حدود أقاليم كوبن في العراق

م. شيماء كريم هادي القرشي

shaimaka2020@gmail.com

كلية التربية ابن رشد، جامعة بغداد

أ.د. سلام هاتف احمد الجبوري

Salamhatif206@gmail.com

كلية التربية ابن رشد للعلوم الإنسانية، جامعة بغداد

الملخص:

يهدف البحث تحديد أثر ذبذبة شرق الاطلس غرب روسيا في اختلاف حدود أقاليم كوبن المناخية في العراق، وقد انتخب لها سلسلة مناخية امتدت من 1971 إلى 2020.

اعتمد البحث على بيانات شذوذ الأنماط الضغطية العليا لموقع ذبذبة (EAWR) المستحصل عليها من موقع (NOAA) فضلاً عن بيانات الانواع الجوية المتمثلة بالأمطار ودرجات الحرارة في اثنين وعشرين محطة مناخية موزعة فوق العراق، وقد اعتمد اختبار مان كاندل (MK) الاختبار الاتجاه، واختبار بيرسون العلاقة المكانية، فضلاً عن تقنية نظم المعلومات الجغرافية (GIS).

وقد أظهرت نتائج البحث وجود علاقة ارتباط عكسية بين ذبذبة (EAWR) ودرجة الحرارة وطردية مع الامطار بنسبة تأثير بلغت (96) % على التوالي، وبمستوى معنوية (99) %، وكانت تسجل أعلى تأثير في محطة كركوك، وقد كانت نمذجة أقاليم كوبن للطور (EAWR+) بنسبة (72) %، وسجل (74.3، 8.2، 17.5) % لكل من إقليم البحر المتوسط، إقليم مناخ الاستبس، إقليم المناخ الصحراوي، على التوالي، والطور (EAWR-) وسجل (29.6، 8.8، 61.6) %، لكل من إقليم البحر المتوسط، إقليم مناخ الاستبس، إقليم المناخ الصحراوي، على التوالي، ختاماً لابد من الاستفادة من هذه النتائج في المجال المناخي الشمولي والبيئي.

الكلمات المفتاحية: شرق الاطلس - غرب روسيا، أقاليم كوبن، النمذجة المناخية، الارتباط المكاني.

The East Atlantic/Western Russian oscillation and its impact on the different borders of the Köppen regions in Iraq

Shaima Kareem Hadi Al-Quraishi

shaimaka2020@gmail.com

College of Education-Ibn Rushd for Human Sciences, University of Baghdad

Prof.Dr. Salam Hatif Ahmed Al-Jubouri

Salamhatif206@gmail.com

College of Education-Ibn Rushd for Human Sciences, University of Baghdad

Abstract

The research aims to determine the effect of the East Atlas Oscillation in western Russia on the differences in the boundaries of the Köppen climatic regions in Iraq, for which a climatic series was selected that extended from 1971 to 2020.

The research relied on data of anomalies of the upper pressure patterns of the oscillation site (EAWR) obtained from the NOAA website, as well as atmospheric data represented by rain and temperatures at twenty-two climate stations distributed over Iraq. The Mann Candle (MK) test, the trend test, and the MK test were adopted. Pearson spatial relationship, as well as Geographic Information Systems (GIS) technology.

The results of the research showed that there is an inverse correlation between the EAWR and temperature and rainfall with an influence rate of (96)%, respectively, and a significance level of (99%), and the highest influence was recorded in the Kirkuk station, and the Köppen regions were modeled for the phase (EAWR+) by (72)%, and recorded (17.5, 8.2, 74.3)% for the Mediterranean region, the steppe climate region, and the desert climate region, respectively, and Al-Tur (EAWR-) and recorded (8.8, 29.6, 61.6)%, for each From the Mediterranean region, the Stepas climate region, and the desert climate region, respectively. In conclusion, these results must be benefited from in the comprehensive and environmental climate field.

Keywords: East Atlantic, Western Russia, Köppen regions, climate modeling, spatial correlation.

1. مشكلة البحث: تعتبر مشكلة الدراسة جوهر العمل البحثي واداة تحدد مسارات أسئلة لم يتم الإجابة عليها، فقد انطلقت مشكلة هذه الدراسة الرئيسية والثانوية في الآتي:
هل هناك تأثير لتغير أطوار ذبذبة شرق الأطلس- غرب روسيا

في تغير نطاقات أقاليم كوبن المناخية في العراق؟

2. فرضية البحث: يوجد تأثير لتغيرات أطوار ذذبذبة شرق الأطلس- غرب روسيا في تغير أقاليم كوبن المناخية

3. هدف البحث: لابد لهذه الدراسة أن تفصح على اهداف ومستهدفات المدى القصير والبعيد على حد سواء؛ ولذا ارتكزت هذه الدراسة قيد العمل للوصول إلى الأهداف التالية:

■ اتباع طرق علمية تعتمد بحث تغير أقاليم كوبن المناخية كمعيار للعمل التطبيقي، لمحاولة تفسيره بما يحصل في اطوار الذذبذبات، فمهما ابتعدنا في أبعاد الدراسة المكانية، يبقى تغير الذذبذبات الضغطية العالمية هدفاً لمشروع الدراسة.

■ استعراض الخصائص الأدبية لأماكن نشوء الذذبذبات الضغطية والكشف عن تغيراتها الزمانية.

■ التحليل العملي لاتجاهات أقاليم كوبن المناخية وتغيراتها الزمانية والمكانية في العراق.

■ رصد العلاقة الإحصائية بين اطوار الذذبذبات الضغطية وتغيرات أقاليم كوبن وحالاتها المكانية.

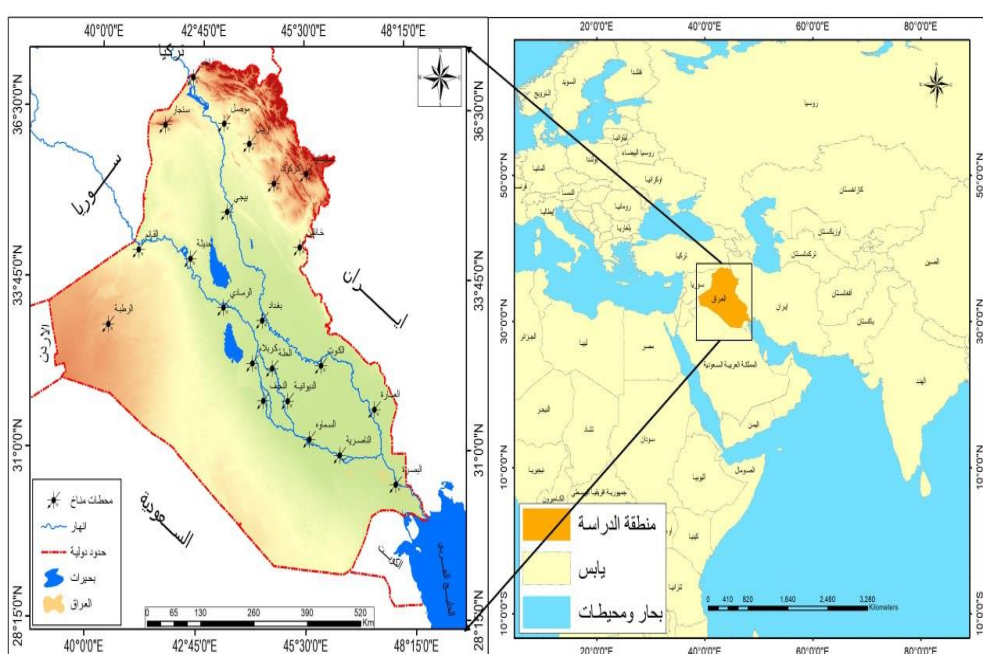
■ الكشف عن زحمة حدود أقاليم كوبن المناخية المفسرة بتغير اطوار الذذبذبات الضغطية

4. حدود منطقة البحث: شمل على تحديد بعدين هما:

أ. البعد المكاني: تمثل منطقة الدراسة -جغرافياً- بالعراق الذي يقع متوسطاً بين قارات العالم القديم (آسيا، إفريقيا، أوروبا)، ويعد حلقة وصل بين تلك القارات، إذ أنه يقع في الجزء الجنوبي الغربي من قارة آسيا بين البحر المتوسط والخليج العربي، والجزء الشمالي الشرقي من الوطن العربي، يتواجد في العراق خمسة بحار وهي البحر المتوسط والبحر الأحمر غرباً، والخليج العربي جنوباً، والبحر الأسود وبحر قزوين شمالاً، إلا أن تلك البحار بعيدة عن العراق، فضلاً عن وجود حواجز طبيعية جبلية، ماعدا وجود اطلالة لجهة واحدة على الخليج العربي جنوباً. وقد تتحدد هذه التأثيرات البحرية بحركة الدوران الجوي، وفي القارية شغل العراق موقعاً قاررياً متاثراً باليابس أكثر من المسطحات المائية، ومهما في خريطة الشرق الأوسط، لتجده من الشرق إيران، ومن الشمال تركيا، ومن الغرب سوريا والأردن وجزء من السعودية، وصولاً للجنوب إذ دولة الكويت والسعودية؛ يقع العراق بين دائرتين عرض ($15^{\circ} 3^{\prime}$ - $29^{\circ} 40^{\prime}$) شماليًّاً، أي في القسم الجنوبي من المنطقة المعتمدة الشمالية، مما يعني أنه يقع في منطقة انتقالية بين المناخ المداري ومناخ البحر المتوسط، ويقع بين

خطي طول ($38^{\circ} 47' 55''$ - $48^{\circ} 33' 50''$) شرقاً، لذا يشغل العراق حيزاً مكانياً تبلغ مساحته 435052 كم²، بنسبة (3.2%) من إجمالي مساحة الوطن العربي⁽¹⁾، كما في خريطة (1).

خريطة (1) الموقع الفلكي والجغرافي لمنطقة الدراسة والمحطات المناخية المشمولة بالدراسة



المصدر: من عمل الباحثة بالاعتماد على خارطة العراق الإدارية بمقاييس رسم 1:1000000، باستخدام Arc Map 10.2.

تم اختيار (اثنا وعشرون) محطة مناخية موزعة على المناطق التضاريسية في العراق حيث كانت محطة سليمانية تشهد أعلى ارتفاع بين محطات الدراسة بواقع (843) م في شمال العراق، بينما كان أدناها في محطة البصرة بواقع (2) م في جنوب العراق، وهنا نلاحظ دور الارتفاع في خلق نطاقات مناخية مختلفة مفعلا دورها في بناء نموذج مناخ (النموذج المكانية)، التي تحقق المقارنة المكانية على نطاق الامتداد المكاني ضمن موقع الخريطة، ومن ثم المقارنة الزمانية بين المدد المناخية، مقارنة مدى الاختلاف الحاصل ما بين المحطات في الأهمية المكانية للمنطقة من أجل تحديد الأقاليم المناخية لتصنيف كوبن، التي لا تقل أهمية عن تحديد الاتجاهات الزمانية في تداعيات حصول مشكلة الجفاف في المنطقة، كما في جدول (1).

⁽¹⁾ وزارة التخطيط، الجهاز المركزي للإحصاء، المجموعة الإحصائية السنوية لسنة 2013، ص.1.

جدول (1) المحطات المناخية المختارة في منطقة الدراسة

المنطقة التضاريسية	الارتفاع (متر)	دائرة العرض	خط الطول	المحطات المناخية	رقم المحطة الانوائي	ت
المنطقة الجبلية	433	37 08	42 43	زاخو	40-605	1
المنطقة الجبلية	550	36 19	41 50	سنجار	40-604	2
المنطقة الجبلية	223	36 19	43 09	موصل	40-608	3
المنطقة الجبلية	420	36 09	44 00	أربيل	40-616	4
المنطقة الجبلية	843	35 32	45 27	سليمانية	40-623	5
المنطقة المتموجة	331	35 28	44 24	كركوك	40-621	6
المنطقة المتموجة	115	34 54	43 32	بيجي	40-631	7
الهضبة الغربية	177	34 23	41 01	القائم	40-627	8
المنطقة المتموجة	175	34 21	45 23	خانقين	40-637	9
الهضبة الغربية	108	34 08	42 21	حديثة	40-634	10
الهضبة الغربية	48	33 27	43 19	الرمادي	40-645	11
السهل الرسوبي	31	33 18	44 24	بغداد	40-650	12
الهضبة الغربية	630	33 02	40 17	الرطبة	40-642	13
السهل الرسوبي	29	32 34	44 03	كرلاء	40-656	14
السهل الرسوبي	19	32 30	45 49	الكوت	40-664	15
السهل الرسوبي	27	32 27	44 27	الحلة	40-657	16
السهل الرسوبي	53	31 57	44 19	النجف	40-670	17
السهل الرسوبي	20	31 57	44 57	الديوانية	40-672	18
السهل الرسوبي	9	31 50	47 10	العمارية	40-680	19
السهل الرسوبي	11	31 16	45 16	السماوة	40-674	20
السهل الرسوبي	5	31 01	46 14	الناصرية	40-676	21
السهل الرسوبي	2	30 34	47 47	البصرة	40-689	22

المصدر: اعتماداً على:

- وزارة النقل والمواصلات، الهيئة العامة للألواء الجوية العراقية والرصد الزلزالي، قسم المناخ والمائية(الزراعية)، بيانات (غير منشورة)، بغداد، 2021.
- هيئة الألواء الجوية والرصد الزلزالي في إقليم كوردستان، بيانات (غير منشورة)، 2021، أربيل.
-Atlas مناخ العراق، الهيئة العامة للألواء الجوية والرصد الزلزالي، بغداد، 2009.

بـ. **البعد الزمني:** يحدد هذا البعد امتداد التسجيل المناخي لعنصري الحرارة والأمطار الذي أشتق منه تغير أقاليم كوبن المناخية، والذبذبات الضغطية؛ لأجل دراسة العلاقة ومحاولة الكشف عن أسباب التغير، إذ حددت البيانات بمدة الاتجاه العام والحالات الدراسية، واستخدام الاتجاه العام للكشف عن التغير الحاصل في امتداد السلسلة والحالات الدراسية لقياس تغير الأقاليم، لذا تمثلت مدة الاتجاه العام نصف قرنا، بـ (50 سنة) للفترة (1971-2020)⁽²⁾، وهذه المدة تعطي تفسيراً واضحاً لاتجاه التغير المناخي في حدود أقاليم كوبن المناخية، وتم تقسيم مدة الدراسة كالتالي:

✓ دراسة مناخية شملت مدة الاتجاه العام (1971-2020)

✓ تقسيم السلسلة إلى نصفين واختيار حالات دراسية لسنة واحدة.

5. **منهجية البحث ومراحل العمل والتقييم المستخدمة:** يتوجب أن يبني البحث العلمي على أسس علمية ومنهجية متسلسلة يتم من خلالها الوصول إلى الحقيقة والتوصيل إلى الحلول في المشكلة المدروسة بشكل علمي ومنطقي، لذلك اعتمدت الدراسة على عدة مناهج علمية من أجل الوصول لحل مشكلة الدراسة ومنها:

أ. **المنهج الوصفي:** الذي يتضمن التحليل الوصفي لخصائص وطبيعة المناخ في منطقة الدراسة والعوامل المؤثرة فيها، من خلال وصف طبيعة خصائص عنصري تصنيف كوبن المناخي (الحرارة /الأمطار).

بـ. **المنهج الكمي التحليلي:** سيتم اعتماد هذا المنهج بشكل كبير في الدراسة من أجل الوصول إلى الحقائق والنتائج العلمية التي توضح نتائج التغير المناخي وزحف حدود أقاليم كوبن المناخية، من خلال الاختبارات الاحصائية لخصائص عنصري كوبن (درجة الحرارة والأمطار).

تـ. **المنهج الاستقرائي (الاستنتاجي):** يتضمن هذا المنهج استخدام التقنيات الجغرافية الحديثة، من أجل بناء نماذج مكانية للبيانات الكمية، بعد أن يتم معالجتها احصائياً، من خلال قاعدة بيانات رقمية، وتحويلها إلى صور رقمية من خرائط وأشكال بيانية، توضح التغيرات الزمانية والمكانية لزحف حدود أقاليم كوبن المناخية في منطقة الدراسة.

6. الدراسات السابقة:

1. دراسة (هنادي عادل صحن، 2023، ص 544) (Hanadi Adel Sahn, 2023, p544):
توصلت الباحثة إلى أن قيم الذبذبات الضغطية الشهرية تباينت في تسجيلاتها بين الانخفاض (السالب) وبين الارتفاع (الموجب)، وان سرع الرياح السطحية (م/ثا) لجميع محطات الدراسة تتجه نحو الانخفاض وبمستوى معنوية عالية.

⁽²⁾ تم استخدام كل بيانات الذبذبات الضغطية والبيانات المناخية للدراسة ابتدأ من شهر أيلول سنة 1970 ولغاية شهر أب من السنة اللاحقة وذلك مراعاة لموسمية الأمطار.

2. دراسة (سالار علي خضر الذهبي، 2007، ص 805) (Salar Ali Khader Al-Dzaii, 2007, p805)

(Dazii,2007,p805): توصل الباحث من خلال البحث ان التغيرات التي تصيب ذبذبة شمال الأطلسي بين الموجب والسلب تؤثر تأثير كبير على جمل العناصر والظواهر المناخية والبحرية لقارة أمريكا الشمالية وأوروبا والبحر المتوسط وصولاً إلى الشرق الأوسط.

3. دراسة (قصي عبد المجيد السامرائي، عبير احمد حسون، 2002، ص 107-126) (Qusay Abdul Majeed Al-Samarrai, Abeer Ahmed Hassoun,2002,p107-126)

(126): توصل الباحثان انه عند مقارنة حدود الأقاليم المناخية التي رسمت باستخدام المعدل الطويل الأمد وحدود الأقاليم المناخية التي رسمت باستخدام حرارة وامطار كل سنة على حدة يلاحظ عم التطابق بين تلك الحدود، اذ ان هناك اختلاف في حدود الأقاليم المناخية في كل سنة عن حدود المعدل الطويل الأمد مما يعطي تصوراً واضحاً عن أهمية الاعتماد على التصنيف السنوي في الدراسات والتطبيقات.

4. دراسة (سالار علي خضر الذهبي، 2014، ص 349) (Salar Ali Khader Al-Dzaii, 2014, p349)

(Dazii,2014,p349): توصل الباحث من خلال البحث الى ان مناخ العراق يتراوح بين المناخ القاري الشديد والقاري الشديد (جداً)، وان درجة القاربة في العراق تتميز بالتناوب الشديد من عام لآخر.

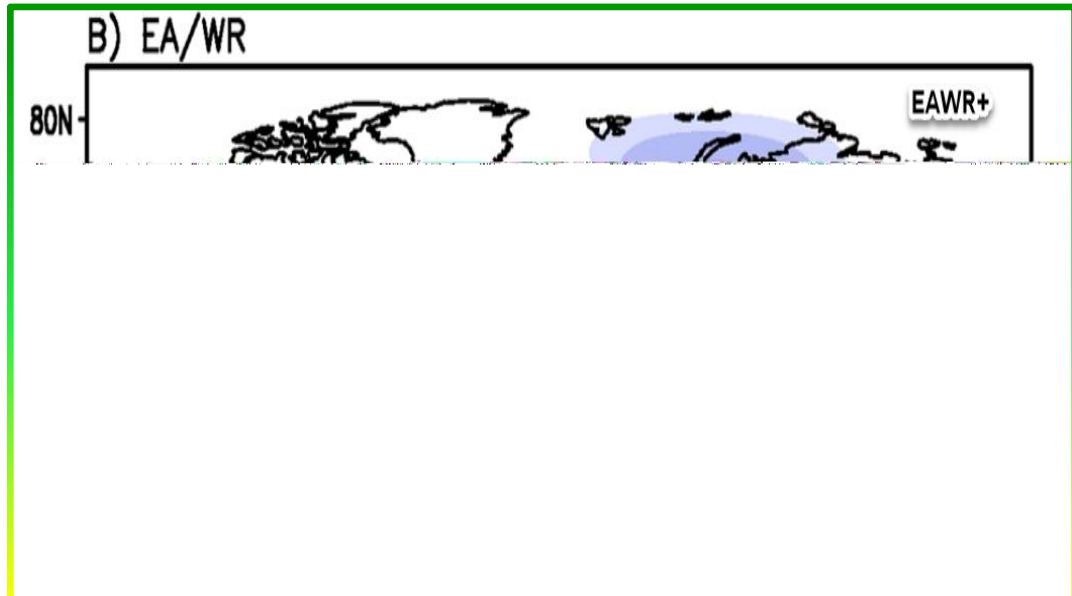
7. التعريف الادبي في ذبذبة شرق الأطلس / غرب روسيا

بعد نمط شرق المحيط الأطلسي / غرب روسيا EAWR أحد الأنماط المهمة والمؤثرة على مناطق اوراسيا خلال معظم أيام السنة، ماعدا شهري تموز وآب لذلك يعتبر نمط EAWR أكثر فعالية خلال فصل الشتاء ويطلق عليه باسم نمط اوراسيا أحيانا (سيمون، كريشك وبينهايس البر، 2005، ص 4) (Simon O. Krichak and Pinhas Alper,2005,p4).

الطور الموجب للـ EAWR: يشهد هذا الطور حدوث ضغط جوي منخفض في مناطق غرب وجنوب غرب روسيا، بينما يحدث ضغط جوي مرتفع فوق مناطق شمال غرب أوروبا (يونغ - كونون ليم، Young-Kwon, 2015,p3-4) (2015, ص 3-4)، مما يسبب هبوب رياح شمالية باردة من مناطق وسط أوروبا متوجه نحو مناطق شرق البحر المتوسط لتشط الحالات الجبهوية الشمالية (مونيكا، ايونيتا، Monica Ionita,2014,p297-298)، كما في شكل (1). أما الطور السلاب للـ EAWR يحدث من خلال ضغط جوي مرتفع فوق بحر قزوين وعلى مناطق جنوب غرب روسيا، بينما يحدث ضغط جوي منخفض على مناطق شمال غرب أوروبا (إيزائيل، إنجليسياس، وآخرون، 2011، ص 3) (Isabel Iglesias,2011,p3)، مما يسبب رياح جنوبية غربية فوق مناطق شرق البحر المتوسط

تمنع مزول المؤثرات القطبية الباردة (يونغ كونون ليم، 2014، ص 4-6) (Lim, 2014, p4-6).

شكل (1) التمثيل المكاني لمراكز عمل تذبذب EAWR للطور الموجب



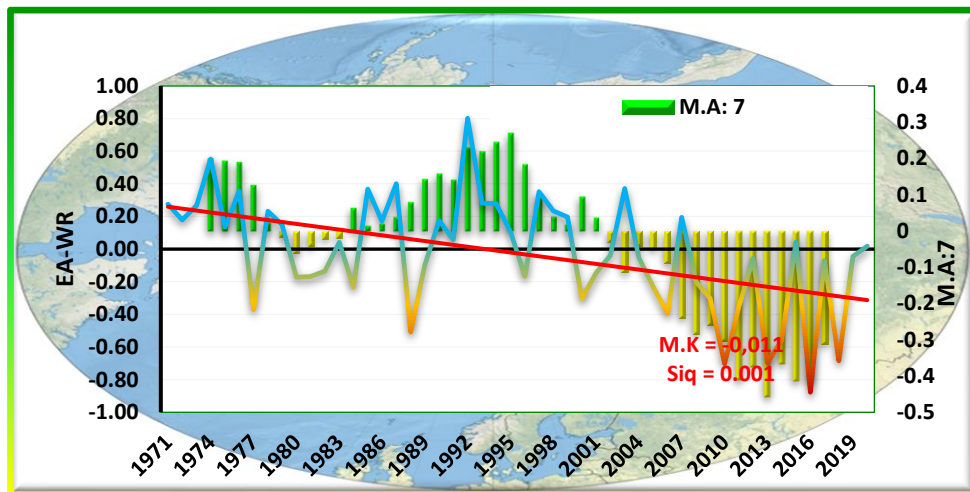
Source: Young- Kwon Lim. Op Cit., P.7837

ثانياً: عرض النتائج:

1. الاتجاه والتغير في ذبذبة شرق الأطلس / غرب روسيا

يظهر من الشكل (2)، ان الاتجاه العام لذبذبة (EA-WR)، تتجه نحو الزيادة في الأطوار السالبة وذلك وفقا لقيمة اتجاه مان كندل البالغة (-0.011)، وهي مثبتة إحصائيا بمستوى معنوية (99%)، ويظهر من الشكل (2)، ان أطوار الذبذبة قد توزعت على متن السلسلة إذ تظهر تغيراتها عديما، في العقد الأول والثاني والثالث سيادة الأطوار الموجبة وأعلى عقد شهدت هذه الأطوار وهو العقد الأول، في حين سجلت الأطوار السالبة في العقد الرابع والخامس، وذلك وفقا لما حصر في المتوسط المتحرك السباعي. ويكشف العقد الأخير ان العقد الأخير شهد أعلى زيادة ويبدو ان هذه الزيادة بالأطوار السالبة تظهر أدبيا وفقا لاتجاهاتها الموجبة والسالبة في زيادة الأمطار وتناقص الحرارة، لاسيما وان هذه الذبذبة قد وقعت في النظام الجوي لموجة روسيي الإقليمية.

شكل (2) التقلبات الموسمية لأطوار ذئبة شرق الاطلس-غرب روسيا (EA-WR) للمدة (1971-2020)



المصدر: الباحثة بالاعتماد على قاعدة بيانات (Tele. EAWR)، واختبار مان كاندل M.K في برنامج XLSTAT 2019

2. تحليل أقاليم كوبن - جيكر للمدة (1971-2020)

أ. المناخ المعتمل ذو الصيف الحار الجاف Csa: يلاحظ من جدول (2)، هناك تباين في تكرار أقاليم مناخ البحر المتوسط في أقصى الشمال وشمال شرق العراق (زاخر، سليمانية، أربيل)، بينما في المحميات الوسط والجنوب لم يسجل ظهور للإقليم ويرجع سبب ذلك إلى قلة الأمطار في تلك المحميات وارتفاع درجات الحرارة.

جدول (2) أقاليم "كوبن-جيكر" المناخية في العراق للمدة (1971-2020)

صنف الإقليم	الأمطار (سم)	الأمطار (ملم)	الحرارة 2 *	معدل الحرارة	المحميات
CSa	74.4	744.3	39.0	19.5	زاخر
BSh	38.5	384.6	41.8	20.9	سنجر
BSh	36.1	360.8	40.5	20.2	موصل
CSa	43.1	430.7	42.7	21.3	أربيل
CSa	67.9	679.2	38.1	19.0	سليمانية
BSh	34.9	349.4	45.4	22.7	كركوك
BWh	20.9	208.9	45.2	22.6	بيجي
BWh	16.4	164.0	41.9	21.0	القائم

BSh	29.5	295.3	45.8	22.9	خانقين
BWh	13.3	132.7	43.7	21.8	حديثة
BWh	12.8	128.1	44.5	22.2	الرمادي
BWh	13.0	129.9	46.0	23.0	بغداد
BWh	12.0	119.5	40.1	20.1	الرطبة
BWh	10.4	103.7	48.3	24.2	كربلاء
BWh	14.3	143.2	48.2	24.1	الكوت
BWh	11.3	112.8	46.4	23.2	الحلة
BWh	9.8	97.9	49.5	24.8	النجف
BWh	10.6	105.9	49.1	24.6	الديوانية
BWh	17.8	178.4	50.3	25.1	العمارنة
BWh	10.3	103.2	49.8	24.9	السماوة
BWh	12.4	123.6	52.0	26.0	الناصرية
BWh	13.5	135.1	51.9	25.9	البصرة

المصدر: الباحثة بالاعتماد على بيانات الهيئة العامة للأحوال الجوية العراقية، بغداد، وإقليم كوردستان، العراق، 2020.

وعليه يتضح من جدول (3)، تكراراً واضح للإقليم حيث سجلت أعلى تكرار في محطة زاخو (45) خلال مدة الدراسة (1971-2020)، ثم تلتها كل من محطة سليمانية واربيل (44،21) تكراراً، على التوالي.

جدول (3) تكرار الأقاليم خلال مدة الدراسة (1971-2020)

Bwh	Bsh	Csa	المحطة المناخية
49	1	0	النجرف
50	0	0	السماوة
46	4	0	كربلاء
50	0	0	الديوانية
48	2	0	الحلة
45	5	0	الرطبة

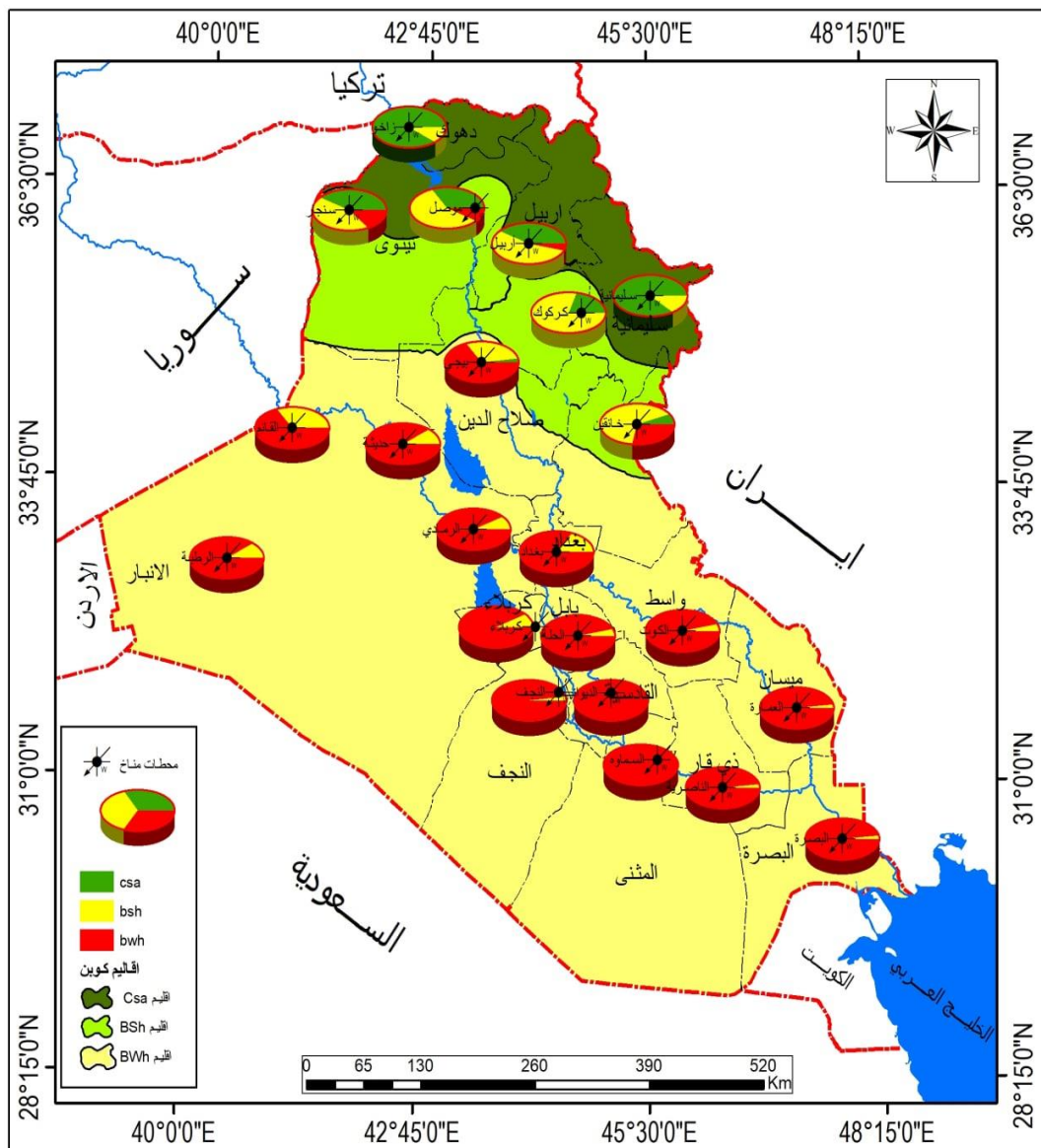
46	4	0	الرمادي
49	1	0	الناصرية
42	8	0	بغداد
45	5	0	حديثة
49	1	0	البصرة
48	2	0	الكوت
33	17	0	القائم
49	1	0	العمارية
33	16	1	بيجي
14	33	3	خانقين
0	40	10	كركوك
4	29	17	موصل
7	22	21	سنجر
2	27	21	أربيل
0	6	44	سليمانية
0	5	45	زاخو

المصدر: الباحثة بالاعتماد على بيانات الهيئة العامة للأحوال الجوية العراقية، بغداد، وإقليم كوردستان، العراق، 2020.

- أقليم المناخ شبة الجاف (الاستبس) :Bsh

يتضح من جدول (3)، ان الإقليم لم يظهر في جميع محطات الجنوب، بينما كان واضح في محطات كل من: (موصل، سنجر، كركوك، خانقين)، بينما سجل أعلى تكرارا خلال مدة الدراسة في محطة(كركوك)، بلغ نحو (40) تكرارا، كما في جدول (3)، بينما لم يظهر له تكراراً في المحطات الجنوبية (الديوانية، السماوة)؛ وذلك بسبب التراجع الكبير في كميات الأمطار.

**خريطة (2) حدود أقاليم "كوبن- جيكر" في العراق ونسبة تكرار الأقاليم
خلال المدة (2020-1971)**



.المصدر: الباحثة واعتماداً على جدول (2) و(16) ونتائج نمذجة الأقاليم في برنامج Arc map 10.5
3. أقليم مناخ الصحراوي الجاف: Bwh

يتضح من جدول (2)، ان الإقليم لم يظهر في بعض محطات منطقة الدراسة (زاخو، سليمانية، كركوك)، بينما سجل أعلى تكرارا خلال مدة الدراسة في محطي (الديوانية، السماوة)، بلغ نحو (50) تكرارا، لكل من، كما في جدول (3).

يتضح من خريطة (2)، وجدول (4)، هناك تباينات مساحية كبيرة بين الأقاليم المُناخية لـ "كوبن-جيكر" في منطقة الدراسة، حيث سجلإقليم مناخ البحر المتوسط Csa اقل مساحة من المنطقة خلال المدة (1971-2020)، والتي بلغت نحو (44214.7 كم^2 ، بنسبة 10.2%)، إذ شملت كل من المحطات الواقعة في أقصى الشمال وشمال شرق العراق (زاخو، سليمانية، واربيل)، بينما سجل الأكبر مساحة إقليم مناخ السهوب Bwh وبلغت نحو (335889.5 كم^2 ، بنسبة 77.2%)، وشملت محطات وسط وجنوب العراق.

جدول (4) النسب المئوية المساحة الأقاليم في العراق للمدة (1971-2020)

الإقليم	المساحة	النسبة المئوية
Csa	44214.7	10.2
Bsh	54948.3	12.6
Bwh	335889.5	77.2
المجموع	345052	100

المصدر: الباحثة بالاعتماد على خريطة (2)، وبرنامج arc gis

ثالثاً: مناقشة نتائج تحليل العلاقة الإحصائية بين حدود أقاليم كوبن وذبذبة

1. ارتباط تغيرات أطوار EAWR بدرجات الحرارة زمانيا:

يتبيّن من الجدول (5)، ان هناك علاقة ارتباط عكسية التأثير وهذه العلاقة بين المتوسطة إلى الضعيفة جداً بين ذبذبة EAWR ودرجات الحرارة في العراق بتأثير معنوي نحو (96%)، بمعنى (عند حصول طور EAWR⁺ يحصل انخفاض في درجات الحرارة والعكس من ذلك في حالة حصول طور EAWR⁻ يحصل تزايد في درجات الحرارة).

ووجدت أعلى قيمها في محطي كركوك والقائم الواقعتين ضمن إقليمي كوبن (Bsh-Bwh)، بواقع ارتباط (0.604-0.605)، وبمستوى ثقة إحصائية (99%)، على التوالي، في حين سجلت اقل علاقات التأثير لذذبة EAWR في محطة زاخو الواقعة ضمن أقاليم البحر المتوسط (Csa)، بواقع ارتباط (0.154)، وبمستوى غير معنوي (N. S).

جدول (5) العلاقة بين ذبذبة EAWR ودرجة الحرارة لموسم كوبن المناخي فوق العراق للمنطقة (1971-2020)

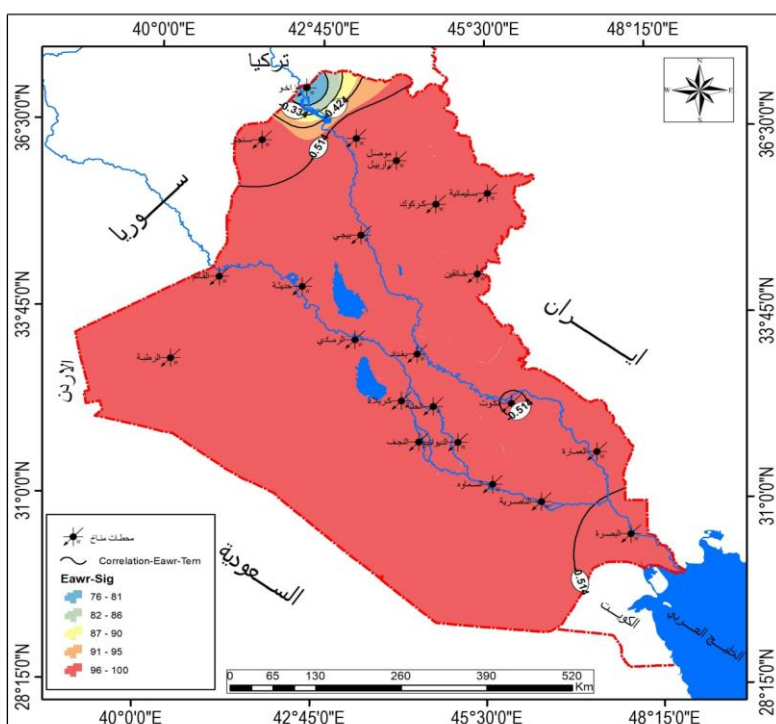
المحطات	الارتباط	sig	رمز كوبن
سنمار	-0.495	0.001	BSh
زاخو	-0.154	n. s	Csa
موصل	-0.597	0.001	BSh
أربيل	-0.584	0.001	Csa
كركوك	-0.605	0.001	BSh
سليمانية	-0.54	0.001	Csa
القائم	-0.604	0.001	BWh
بيجي	-0.595	0.001	BWh
حديثة	-0.579	0.001	BWh
خانقين	-0.532	0.001	BSh
الرطبة	-0.528	0.001	BWh
الرمادي	-0.573	0.001	BWh
كربلاء	-0.526	0.001	BWh
الحلة	-0.596	0.001	BWh
النحو	-0.542	0.001	BWh
الديوانية	-0.537	0.001	BWh
السماوة	-0.577	0.001	BWh
العمراء	-0.537	0.001	BWh
بغداد	-0.556	0.001	BWh
البصرة	-0.472	0.001	BWh
الكوت	-0.508	0.001	BWh
الناصرية	-0.518	0.001	BWh

المصدر: اعتماداً على قاعدة بيانات (Temp. EAWR) و (Tele. EAWR) برنامج (SPSS. v23)

2. نمذجة العلاقة المكانية بين تأثير EAWR ودرجات الحرارة:

تحدد معطيات خريطة (3)، للارتباط المكاني بين ذبذبة EAWR ودرجة حرارة العراق الظاهرة بعلاقة عكسية التأثير والمتباعدة بقوة العلاقة ونسبة دلالة الإحصائية ومن الخريطة ذاتها تظهر كيفية توزيع قيم الارتباط معنوياتها الإحصائية ، فيظهر اقوى تأثير لأطوار ذبذبة EAWR ضمن نطاق مكاني يمتد من وسط وجنوب العراق الواقع ضمن نطاق أقاليم كوبن الجافة Bwh الى شمال العراق وتبدو هذه العلاقة أكثر في وسط وجنوب العراق الى شمال العراق الذي شغل نطاق تأثيرها خط ارتباط (1.51)، وبفئة دلالة معنوية (96-100%)، في حين لم يظهر ارتباط واضح في اقصى شمال العراق لتدرج التأثيرات ضمن علاقة ارتباط بين (0.33-0.42)، وضمن مستويات دلالة واقعة بين فئة (91-95%)، وفئة غير معنوية (76-81%)، وهذا يعني ان النطاقات المكانية للارتباط تساير حركة موجة روسبي فتصعد الانبعاث في طور EAWR السالب يؤدي الى رفع درجات الحرارة في حين يحدث العكس في نزول الاخدود عند حصول الطور الموجب لذبذبة EAWR يؤدي الى خفض درجات الحرارة في الغالب الذي رسم حدود ابعد كوبن للإقليم الصحراوي والا ستبس بعض مما في شمال العراق الذي لا يخضع لموجة روسبي ووصول التأثيرات المدارية.

خريطه (3) الارتباط المكاني لدرجات الحرارة أقاليم كوبن المناخية فوق العراق مع ذبذبة EAWR للمرة (1971-2020)



المصدر: اعتماداً على جدول (5) وبرنامج Arc G.I.S 10.3

3. ارتباط تغيرات أطوار EAWR بكميات الأمطار زمانياً:

يتضح من جدول (6)، ان العلاقة بين تأثير اطوار ذنبة EAWR وكميات الأمطار في العراق وجدت بعلاقة طردية التأثير معنى (عند حصول طور EAWR الموجب يحصل ارتفاع في كميات الأمطار والعكس من ذلك في حالة حصول طور EAWR السالب يحصل انخفاض في كميات الأمطار)، وتبدو هذه العلاقة بقوة ارتباط بين المتوسط إلى الضعيفة جداً.

كان أعلى معامل ارتباط في محطة كركوك الواقعه ضمن إقليم كوبن الاستبس (Bsh)، بواقع ارتباط (0.555)، وبمستوى ثقة إحصائية (99%)، في حين سجلت أدنى علاقة تأثير لذنبة EAWR في محطة الحلة الواقعه ضمن أقاليم كوبن الجافة (BWh)، بمعامل ارتباط (0)، وبمستوى غير معنوي (n.s).

جدول (6) العلاقة بين ذنبة EAWR وكميات الأمطار لموسم كوبن المناخي فوق العراق (1971-2020)

المحطات	الارتباط	sig	رمز كوبن
سنجر	0.075	n.s	BSh
زاخو	-0.211	0.1	Csa
موصل	0.295	0.05	BSh
أربيل	0.235	0.1	Csa
كركوك	0.555	0.001	BSh
سليمانية	0.503	0.001	Csa
القائم	-0.139	n.s	BWh
بيجي	0.129	n.s	BWh
حديثة	0.076	n.s	BWh
خانقين	0.095	n.s	BSh
الرطبة	0.134	n.s	BWh
الرمادي	0.142	n.s	BWh
كربلاء	0.047	n.s	BWh
الحلة	0	n.s	BWh
النجف	0.197	0.1	BWh
الديوانية	0.173	n.s	BWh
السماوة	0.303	0.05	BWh
العمارية	0.18	n.s	BWh

BWh	n.s	0.026	بغداد
BWh	0.001	0.435	البصرة
BWh	n.s	0.087	الكوت
BWh	0.01	0.357	الناصرية

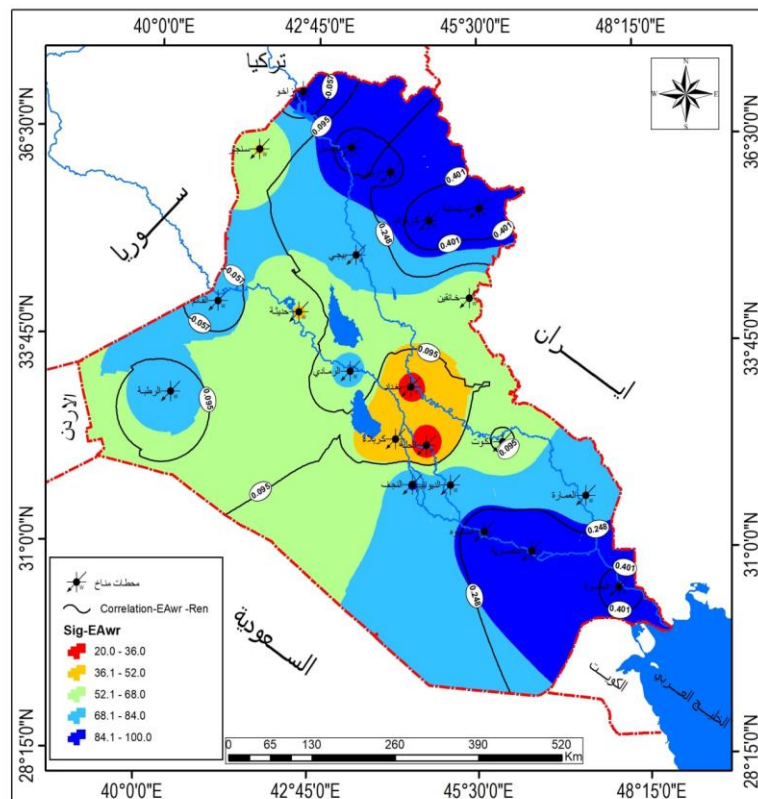
. المصدر: اعتماداً على قاعدة بيانات (Rain^{mm}) و (Tele. EAWR) برنامج (SPSS. v23).

4. نمذجة العلاقة المكانية بين تأثير EAWR وكميات الأمطار:

تحدد معطيات خريطة (4)، للارتباط المكاني بين ذبذبة EAWR وكميات الأمطار في العراق الظاهرة بعلاقة طردية التأثير والمترابطة بقوة العلاقة ونسبة تقة الدلالة الإحصائية ومن الخريطة ذاتها تظهر كيفية توزيع قيم الارتباط بمعنياتها الإحصائية، فيظهر أقوى تأثير لأمطار ذذبة EAWR ضمن نطاق مكاني يمتد من شمال وشمال شرق العراق إلى جنوب العراق وتبدو هذه العلاقة أكثروضوحاً في شمال شرق وجنوب العراق إلى شمال العراق الذي شغل أعلى نطاق تأثيرها خط معامل ارتباط (0.401)، وبقية دلالة معنوية (84-100%)، في حين لم يظهر ارتباط واضح في وسط العراق لتدرج التأثيرات ضمن خط معامل ارتباط نحو (0.095)، فئة غير معنوية (20-36%).

ومن خلال نتائج علاقات الارتباط بين ذذبة (EAWR) وكميات الأمطار يتضح ان من أسباب طردية العلاقة هو حصول طور (EAWR) الموجب يرافقه وفقاً لشكل (2)، نزول كتل الهواء البارد وجبهاتها الهوائية مما يسبب تفعيل حالة عدم الاستقرار الجوي وتشكل حالات طقسية رطبة مؤدية إلى زيادة كميات الأمطار في العراق والعكس من ذلك عند حصول طور EAWR السالب، فإن الحالة الجوية فوق العراق والنطاق الإقليمي يصاحبها صعود لكتل الهوائية المدارية بهيئة انبعاجات مؤدية إلى استقرار الظروف الجوية وبالتالي ينعدم تساقط الأمطار.

خريطة (4) الارتباط المكاني لكميات الأمطار أقاليم كوبن المناخية فوق العراق مع ذبذبة EAWR للمدة (1971-2020)



المصدر: اعتماداً على جدول (6) وبرنامج Arc G.I.S 10.3

5. الحالات الدراسية لتأثير ذبذبة (EAWR) في تغير أقاليم كوبن المناخية:

يلاحظ من تحليل العلاقة المكانية لتأثير ذبذبة شرق الأطلس - غرب روسيا (EAWR) في تغير أقاليم كوبن المناخية في العراق وعبر نصفي سلسلة مدة الدراسة(1971-2020)، إذ خلال النصف الأول(1995-1971)، وجد هناك تكرار للطور الموجب بلغ نحو (18) تكراراً، بمعنى يشكل الطور الموجب نسبة (72%)، من نصف السلسلة الأول، هذا الطور الموجب (EAWR+) يرافقه انخفاض في درجات الحرارة وارتفاع كميات الأمطار وفقاً لما افرزته نتائج علاقة الارتباط التي وجدت علاقة طردية مع الحرارة وعكسية مع كميات الأمطار، وطالما كانت هناك سيادة في نسب تكرار الطور الموجب الأعلى في النصف الأول من السلسلة، وقع اختيار الحالة الدراسية الأعلى قيمة للطور الموجب إذ كانت للحالة الدراسية لسنة (1992)، التي سجلت أعلى (EAWR+)، بلغ (0.8)، بمعنى نزول كتل الهواء البارد بهيئة أحاديد عالية الفعالية للنظام الجبوي ضمن نمط بحر قزوين للذراع الثالث من (EAWR).

ظهر خلال هذه السنة التي تميز شموليًّاً بنزول كتل هوائية باردة وتشطيط حالة التبادل الجوي لتسجل أقاليم كوبن المناخية فوق العراق سيادة مكانية لإقليم البحر المتوسط الذي شغل مساحة بلغت

(76163) كم²، وبنسبة (17.5%)، يعقبه إقليم الاستبس بواقع مساحة (35766) كم²، وبنسبة (8.2%)، في حين سجل أعلاها الإقليم الصحراوي بواقع مساحة (323123) كم²، وبنسبة (74.3%)، كما في جدول (8)، وان هذه النسبة العالية للإقليم الصحراوي ضمن الطور الرطب تتفق مع الواقع المناخي للعراق الذي وقع ضمن النطاق شبه المداري فلم تستطع المؤثرات القطبية ان تصل الى وسط وجنوبي العراق او تزيد كميات الأمطار عن حدود المناخ الصحراوي.

وعند حصول تغير في اتجاه ذبذبة (EAWR) نحو زيادة الطور السالب (-EAWR)، كما في شكل (2)، إذا بلغت نسبة الطور السالب خلال النصف الثاني من سلسلة مدة الدراسة (1996-2020)، إذ بلغ تكرار طور (-EAWR)، نحو (18) تكراراً بواقع نسبة (672%) وهذا يعني ان تكرار الطور الموجب تراجع بنسبة (28%) وقع اختيار الحالة الدراسية الأعلى قيمة للطور السالب لعام (2016)، بلغت نحو (-0.88)، بمعنى صعود كتل الهواء الدافئة بهيئة أنباعجات مدارية وابتعاد مكاني لخط الجبهة القطبية.

خلال هذا الطور السالب يحصل وفقاً لنتائج علاقات الارتباط التي اوجدتها هذه الدراسة في حدوث زيادة في درجات الحرارة وانخفاض كميات الأمطار لذا فقد تأثرت أقاليم كوبن المناخية لتسجيل تأثيرها السلبي بتغير أطوار ذبذبة (EAWR)، فقد تراجع إقليم البحر المتوسط ليبلغ (8.7-%)، وهذا يعني ان شمال العراق هو الأقرب الى مركز الذبذبة وهي الأكثر تأثرا في حصول طورها السالب لتراجع منخفضات البحر المتوسط.

ان تراجع منخفضات البحر المتوسط يعني تناقص كميات الأمطار لتحول العديد من المحطات من مناخ البحر المتوسط الى مناخ الاستبس، ولهذا زاد نسبته بواقع (21.4%)، ليترحجز مكانياً نحو شمال العراق وباتجاه مكاني نحو غرب العراق، ويتأثر الإقليم الصحراوي بتوسيع إقليم الاستبس سلباً مسجلا تراجع مكاني بواقع (+12.7)، ليكون الإقليم الصحراوي يشغل نسبة تغطي كل الأبعاد المكانية للعراق بواقع (61.6%), وهذا يعني ان وسط وجنوبي العراق يتافق مع علاقات الارتباط لجدولي الارتباط (الأمطار)، (الحرارة)، بأنه يتأثر بشكل أقل بأطوار ذذبذبة (EAWR)، مما هو عليه في الشمال.

جدول (7)

مساحات أقاليم كوبن خلال تأثير ذذبذبة (EAWR) ونسب تغيراتها فوق العراق

رمز كوبن المناخي	المساحة للنصف الأول	المساحة للنصف الثاني	النسبة (%) للنصف الثاني	النسبة (%)	فرق النسبة (%)
Csa	76163	38480	17.5	8.8	-8.7
BSh	35766	128561	8.2	29.6	21.4
BWh	323123	268011	74.3	61.6	-12.7
العراق	435052	435052	100	100	0

مصدر الجدول: الباحثة واعتماداً على خريطة (4)، استخراج القياسات في برنامج Arc map 10.5

جدول (8) نسب تكرار اطوار ذبابة(EAWR) بين نصفي مدة الدراسة

- EAWR		+ EAWR		الذبابة
نسبة التكرار	تكرار الطور	نسبة التكرار	تكرار الطور	السلسلة/ الطور
%72	7	%72	18	النصف الأول
%28	18	%28	7	النصف الثاني

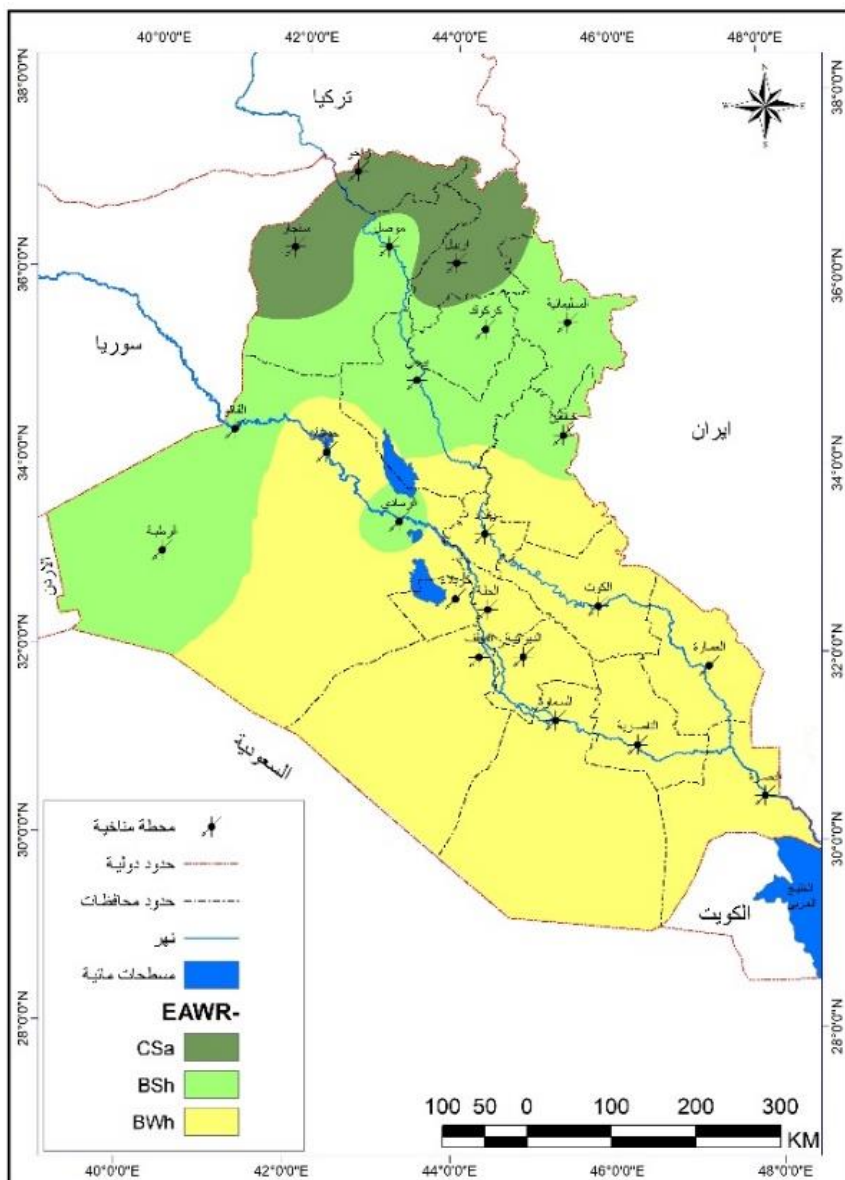
المصدر: اعتماداً على قاعدة بيانات (Tele. EAWR).

خريطة (5) حالة حدود أقاليم كوبن خلال طور (EA WR+) لسنة 1992



المصدر: اعتماداً على قاعدة بيانات (Tele. EAWR)، وعلى جدول (8) وبرنامج Arc G.I.S 10.3

خرطة (6) حالة حدود أقاليم كوبن خلال طور (EA WR-) لسنة 2016



- 1.** من خلال تحليل أقاليم كوبن المناخية خلال مدة الدراسة (1971-2020)، بأنه يشغل منطقة الدراسة ثلاثة أقاليم مناخية وهي إقليم البحر المتوسط (CSa)، وإقليم الاستبس (BSh)، والإقليم الصحراوي الجاف (BWh)، إذ كان يسجل إقليم البحر المتوسط أقل نسبة مساحة بين الأقاليم نحو (10.3) %، بينما سجل أكبر نسبة مساحة الإقليم الصحراوي الجاف نحو (76.9) %.
- 2.** توصلت الدراسة انه خلال مدة الدراسة (1971-2020) سجل الإقليم الصحراوي أعلى تكرار في محطات الوسط والجنوب لاسيما في محطتي الديوانية والسمواة نحو (50) تكراراً لكل منهم، بينما سجل إقليم البحر المتوسط أعلى تكرار في اقصى شمال وشمال شرق العراق في محطة زاخو نحو (45) تكرار، في حين سجل إقليم الاستبس أدنى تكرار وكان أعلى تكرار له في محطة كركوك نحو (40) تكراراً.
- 3.** تبين علاقة ارتباط ذبذبة (EAWR) ودرجة الحرارة عكسية بنسبة تأثير (96) %، وأعلى علاقة مع الحرارة في محطتي كركوك والقائم بواقع ارتباط (0.193, 0.604)، على التوالي وبمستوى معنوية (99) %، ليسودها إقليم الصحراوي الجاف (BWh) وإقليم الاستبس (BSh)، بينما أدنى علاقة في محطة زاخو بارتباط (0.154)، وبدون معنوية (n.s)، ليسود إقليم البحر المتوسط (CSa).
- 4.** وجود علاقة طردية بين ذبذبة (EAWR) والأمطار، وأعلى علاقة في محطة كركوك بارتباط (0.555) وبمستوى معنوية (99) %، ليسود إقليم البحر المتوسط (BSh)، بينما كانت أقل علاقة في محطة الحلة بواقع ارتباط (0)، وبدون معنوية (n.s)، ليسود الإقليم الصحراوي الجاف (BWh).
- 5.** وجد ان عنصري كوبن يتاثران بأطوار النذذبات الضغطية، وان الحرارة أكثر تأثرا بتنقل اطوار النذذبات الضغطية، مقارنة بالأمطار وهذا يرجع الى تأثر درجات الحرارة بنوع الكتلة الهوائية الوالصلة، في حين ان الأمطار تتاثر بطبيعة التقليبات الشمولية العليا والسطحية، وهي أكثر تعقيدا مما هو عليه في درجات الحرارة.
- 6.** يظهر من نمذجة علاقة ذبذبة (EAWR) وعنصري كوبن (درجات الحرارة، الأمطار)، ان أعلى ارتباط مكاني مع درجات الحرارة في (وسط وجنوب العراق)، بمدى فئوي (96-100)، ومستوى معنوية (95) %، فيما سجل أعلى ارتباط مكاني مع الأمطار في (شمال وشمال شرق الى جنوب العراق) ، بمدى فئوي (84.1-100)، ومستوى معنوية بين (90-99)، في حين سجل أدنى ارتباط مكاني مع درجات الحرارة ضمن (اقصى شمال العراق)، بواقع فئوي (81-76)، بدون معنوية (n.s)، في حين سجل أدنى ارتباط مكاني مع الأمطار في منطقة (وسط العراق)، بواقع فئوي (20.0-36.0)، بدون معنوية (n.s).

7. توضح الدراسة ان علاقة تغير أقاليم كوبن المناخية مع ذبذبة (EAWR)، خلال النصف الأول عندما ساد تكرار الطور الموجب بنسبة (72)%، الذي يسبب انخفاض درجات الحرارة وارتفاع كميات الأمطار، وفقا لنتائج الحالة الدراسية الأعلى في عام (1992) بلغ (+0.8) (EAWR+)، رفقت أقاليم كوبن المناخية بنسبة (17.5 ، 8.2 ، 74.3)%، لإقليم مناخ البحر المتوسط، إقليم مناخ الاستبس، إقليم المناخ الصحراوي الجاف على التوالي، وعند تغير اتجاه اطوار ذبذبة (EAWR) للنصف الثاني نحو تكرار الطور السالب بنسبة (72)%، المسبب لارتفاع درجات الحرارة وتراجع كميات الأمطار، وفقا لنتائج الحالة الدراسية الأعلى في سنة (2016) ، بلغ (-0.88) (EAWR-)، رفقة أقاليم كوبن المناخية بنسبة (8.8 ، 29.6 ، 61.6)%، (إقليم مناخ البحر المتوسط ، إقليم مناخ الاستبس ، إقليم المناخ الصحراوي الجاف) على التوالي.

المصادر باللغة العربية:

- 1- الذبي، سالار علي خضر (2014)، التغيرات في درجة المناخ القاري للعراق، بحث منشور، جامعة بغداد، مجلة كلية التربية للبنات، العدد (25)، المجلد (2).
- 2- السامرائي، قصي عبد المجيد (2002)، عبير أحمد حسون، تقلبات حدود المناطق المناخية في العراق، بحث منشور، جامعة بغداد، مجلة كلية الآداب، العدد (59).
- 3- الذبي، سالار علي خضر (2007)، تذبذب شمال الأطلسي (NAO)، بحث منشور، جامعة بغداد، مجلة الأستاذ، العدد (63).
- 4- إيزابيل، إنجليسياس، ماريان. لورينزو، خوان ج. تابودا، (2011) القدرة على التنبؤ الموسمي لنمط شرق المحيط الأطلسي من درجات حرارة سطح البحر.
- 5- مونيكا، إيونيتا (2014)، تأثير نمط شرق المحيط الأطلسي/غرب روسيا على المناخ المائي في أوروبا من منتصف الشتاء إلى أواخر الربيع، معهد ألفريد فيجنر، مركز هيلمهولتز للأبحاث القطبية والبحرية، 27570 بريرهافن، ألمانيا.
- 6- صحن، هنادي عادل (2023)، تأثير اهتزازات المحيط الأطلسي على ظاهرة تهدئة الرياح في العراق خلال فصل الصيف، بحث منشور، جامعة بغداد، مجلة الأستاذ، المجلد (62)، العدد (1).
- 7- سيمون أو. كريشك وبينهاس أller (2005)، الاتجاهات العقدية في نمط شرق الأطلسي وغرب روسيا وطول الأمطار في البحر الأبيض المتوسط، قسم الجيوفيزياء وعلوم الكواكب، كلية ريموند وبيفولي ساكلر للعلوم الدقيقة، جامعة تل أبيب، رمات أبيب، المجلة الدولية لعلم المناخ كثافة العمليات. جيه كليمانتول. 25، إسرائيل.
- 8- يونغ كونون ليم، (2014)، الاتصال عن بعد بين شرق المحيط الأطلسي وغرب روسيا في شمال المحيط الأطلسي: تأثير المناخ وعلاقته بانتشار موجة روسبي، مركز غودارد لرحلات الفضاء التابع

لناسا، مكتب النمذجة والاستيعاب العالمي، غودارد تكنولوجيا وأبحاث علوم الأرض / آي إم سيستم جروب، جرينبيلت، ميريلاند، 20771، الولايات المتحدة الأمريكية.

9- يونغ-كون، ليه، (2015)، الاتصال عن بعد بين شرق المحيط الأطلسي/غرب روسيا (EA/WR) في شمال الأطلسي: تأثير المناخ وعلاقته بروسيبي، مقال في ديناميات المناخ، مركز غودارد لرحلات الفضاء التابع لناسا، النمذجة العالمية ومكتب الاستيعاب، جودارد لเทคโนโลยيا وأبحاث علوم الأرض / مجموعة آي إم سيستمز، جرينبيلت، ميريلاند، 20771، الولايات المتحدة الأمريكية.

References

1. Al-Dazii,Salar Ali Khader (2014), Changes in the degree of continental climate of Iraq, published research, University of Baghdad, Journal of the College of Education for Girls, Issue (25), Volume (2).
2. Al-Samarrai,Qusay Abdul Majeed (2002), Abeer Ahmed Hassoun, fluctuations in the boundaries of climate regions in Iraq, published research, University of Baghdad, Journal of the College of Arts, Issue (59).
3. Al-Dazii,Salar Ali Khader (2007), North Atlantic Oscillation (NAO), published research, University of Baghdad, Al-Ustad Magazine, Issue (63).
4. Isabel, Iglesias, Mari'a N. Lorenzo, Juan J. Taboada(2011) , Seasonal Predictability of the East Atlantic Pattern from Sea Surface Temperatures.
5. Monica, Ionita (2014), The Impact of the East Atlantic/Western Russia Pattern on the Hydro climatology of Europe from Mid-Winter to Late Spring, Alfred Wegener Institute Helmholtz Center for Polar and Marine Research, 27570 Bremerhaven Germany .
6. Sahn,Hanadi Adel (2023), The effect of Atlantic Ocean oscillations on the phenomenon of calming winds in Iraq during the summer, published research, University of Baghdad, Al-Ustad Magazine, Volume (62), Issue (1).
7. Simon O. Krichak and Pinhas Alper (2005), Decadal trends in the East Atlantic West Russia pattern and the Mediterranean precipitation, Department of Geophysics and Planetary Sciences, Raymond and Beverly Sackler Faculty of Exact Sciences, Tel Aviv University, Ramat Aviv, International Journal of Climatology Int. J. Climatol. 25, Israel.
8. Young-Kwon Lim, (2014), The East Atlantic / West Russia teleconnection in the North Atlantic: climate impact and relation to Rossby wave propagation' NASA Goddard Space Flight Center, Global Modeling and Assimilation Office, Goddard Earth Sciences Technology and Research / I. M. System Group, Greenbelt, Maryland, 20771, U.S.A.
9. Young-Kwon Lim, (2015), The East Atlantic/West Russia (EA/WR) teleconnection in the North Atlantic: climate impact and relation to Rossby, Article in Climate Dynamics NASA Goddard Space Flight Center, Global Modeling and Assimilation Office,Goddard Earth Sciences Technology and Research / I. M. Systems Group,Greenbelt, Maryland, 20771, U.S.A.